

## ИНВЕРСИЯ НАСЕЛЕНОСТЕЙ В УЗКОЩЕЛЕВЫХ ПОЛУПРОВОДНИКАХ ПРИ ФОТОНАКАЧКЕ

Генкин Г. М., Окомельков А. В., Токман И. Д.

С помощью численного решения нестационарного кинетического уравнения и уравнений баланса энергии рассмотрен процесс формирования вырожденных неравновесных распределений носителей при интенсивной межзонной фотонакачке в узкощелевых полупроводниках. Учтено влияние принципа Паули на механизмы рассеяния электронов. Получено уравнение, описывающее кинетику фотоэлектронов с учетом эффектов вырождения. Получено выражение для интеграла столкновений для электрон-электронных рассеяний в изотропном случае с учетом принципа Паули. Показано, что в соединениях типа  $Cd_xHg_{1-x}Te$  ( $x \geq 0.17$ ) при интенсивности фотонакачки  $I \sim 10^2$  Вт/см<sup>2</sup> и низких температурах кристалла в диапазоне длин волн  $\lambda \approx 12-40$  мкм имеется усиление с максимальным значением коэффициента усиления порядка  $10^3$  см<sup>-1</sup>.

1. Исследование поведения неравновесных носителей в полупроводниках представляет большой интерес в плане как общефизическом (неравновесные системы), так и прикладном (возможность создания активных систем). Изучению электронов (дырок) при оптическом межзонном возбуждении посвящен ряд работ (см., например, [1, 2]), однако при этом рассматривались невырожденные неравновесные носители. Между тем при достаточно большой интенсивности межзонной накачки фотоносители могут быть вырожденными, что может приводить к инверсии населенностей на излучательных межзональных переходах.

В настоящей работе исследована кинетика неравновесных фотоносителей в узкощелевых полупроводниках типа  $Cd_xHg_{1-x}Te$  и показано, что в таких материалах имеет место инверсия населенностей на межзональных переходах с положительным полным коэффициентом усиления в инфракрасном диапазоне.

2. Рассмотрим межзональную фотонакачку на частоте  $\omega$  такой, что

$$\hbar\omega - \epsilon_g \gg \hbar\omega_0, \quad (1)$$

где  $\omega_0$  — частота оптического фона,  $\epsilon_g$  — ширина запрещенной зоны. При этом начальная энергия фотоэлектронов  $\epsilon_e \gg \hbar\omega_0$ , тогда как энергия фотодырок  $\epsilon_h = \epsilon_g m_e/m_h$  может быть меньше  $\hbar\omega_0$ , так как  $m_e/m_h \ll 1$  в данных кристаллах, где  $m_e$  ( $m_h$ ) — эффективная масса электрона (дырки). Основным механизмом энергетической релаксации для фотоэлектронов при низких температурах  $T \ll \hbar\omega_0$  является спонтанное испускание оптических фононов. Для фотодырок при  $\epsilon_h < \hbar\omega_0$  основную роль в энергетической релаксации играет «гибридный» процесс [1] — дырочно-дырочное рассеяние совместно с испусканием оптического фона.

Будем рассматривать узкощелевые полупроводники с  $\epsilon_g > \hbar\omega_0$  (для  $Cd_xHg_{1-x}Te$  это соответствует  $x > 0.17$ ), в которых рекомбинация носителей с участием оптического фона невозможна, а потому время жизни  $\tau_R$ , определяемое в этом случае в основном оже-рекомбинацией [3, 4], достаточно велико по сравнению с характерными временами энергетической релаксации носителей внутри зон. Вследствие большой величины времени жизни  $\tau_R$  в масштабе характерных времен энергетической релаксации внутри каждой зоны и малой в силу малости параметра  $m_e/m_h$  частоты энергетической релаксации электронов из-за электронно-дырочного рассеяния распределения неравновесных носи-

тесной формируются за счет рассеяний носителей внутри соответствующих зон. Межзонный обмен при этом влияет лишь на полную концентрацию носителей.

3. Рассмотрим кинетику фотоэлектронов. Рекомбинационный член в интеграле столкновений благодаря «медленности» процессов рекомбинации по сравнению с внутризонными рассеяниями можно учесть феноменологически:

$$R(\varepsilon, f(\varepsilon, t)) = -f(\varepsilon, t)/\tau_R(\varepsilon), \quad (2)$$

для оже-рекомбинации  $\tau_R(\varepsilon)$  — медленная функция [3, 4],  $f(\varepsilon, t)$  — функция распределения электронов.

Будем считать, что источник фотонакачки имеет Гауссову форму и включается скачком в момент времени  $t=0$ :

$$I(\varepsilon, t, f(\varepsilon, t)) = I_0 \exp \left\{ -\frac{(\varepsilon - \varepsilon_s)^2}{2\sigma_s^2} \right\} \Theta(t) [1 - f(\varepsilon, t)], \quad (3)$$

где  $I_0$ ,  $\varepsilon_s$ ,  $\sigma_s$  определяются параметрами фотонакачки,  $\Theta(t)$  — ступенчатая функция Хэвисайда. Множитель  $[1 - f(\varepsilon, t)]$  учитывает возможность вырождения носителей в области источника.

Интеграл столкновений, обусловленный спонтанным испусканием полярных оптических фононов, имеет вид

$$St_{opt} = \frac{4\pi}{\tau_{po}} \left\{ \sqrt{\frac{\hbar\omega_0}{\varepsilon + \hbar\omega_0}} \ln \left| \frac{\sqrt{\varepsilon} + \sqrt{\varepsilon + \hbar\omega_0}}{\sqrt{\varepsilon} - \sqrt{\varepsilon + \hbar\omega_0}} \right| f(\varepsilon + \hbar\omega_0, t) [1 - f(\varepsilon, t)] - \right. \right. \\ \left. \left. - \sqrt{\frac{\hbar\omega_0}{\varepsilon}} \ln \left| \frac{\sqrt{\varepsilon} + \sqrt{\varepsilon - \hbar\omega_0}}{\sqrt{\varepsilon} - \sqrt{\varepsilon - \hbar\omega_0}} \right| f(\varepsilon, t) [1 - f(\varepsilon - \hbar\omega_0, t)] \Theta(\varepsilon - \hbar\omega_0) \right\}, \quad (4)$$

где  $\tau_{po}^{-1} = (\varepsilon_\infty^{-1} - \varepsilon_0^{-1}) 2m_e e^2 \omega_0 / \hbar \sqrt{2m_e \hbar \omega_0}$  — частота рассеяния электронов на оптических фононах (см., например, [1]).

Электрон-электронные рассеяния будем описывать с помощью интеграла столкновений Ландау (см., например, [6]) с учетом вырождения носителей. Для интеграла электрон-электронных столкновений с учетом принципа Паули

$$St_{ee}(p, f(p, t)) = \frac{1}{p^2} \frac{\partial}{\partial p} [p^2 s(p, f(p, t))] \quad (5)$$

получаем, что плотность потока импульса определяется формулой

$$s(p, f(p, t)) = \frac{16L}{3\pi} \frac{m_e e^4}{\hbar^3 \varepsilon_\infty^2} p \int_0^\infty dp_1 p_1 \min^3(1, p_1/p) \times \\ \times \left\{ f(p_1, t) [1 - f(p_1, t)] \frac{1}{p} \frac{\partial f(p, t)}{\partial p} - f(p, t) [1 - f(p, t)] \frac{1}{p_1} \frac{\partial f(p_1, t)}{\partial p_1} \right\}, \quad (6)$$

где  $L$  — кулоновский логарифм. В результате для интеграла столкновений получаем следующую формулу:

$$St_{ee} = \frac{1}{\tau_{ee}} \frac{1}{\sqrt{\varepsilon}} \frac{\partial}{\partial \varepsilon} \left\{ e^{\frac{\varepsilon}{2\varepsilon}} \int_0^\infty d\varepsilon_1 \min^3(1, \sqrt{\varepsilon_1/\varepsilon}) \times \right. \\ \left. \times \left[ f(\varepsilon_1, t) [1 - f(\varepsilon_1, t)] \frac{\partial f(\varepsilon, f)}{\partial \varepsilon} - f(\varepsilon, t) [1 - f(\varepsilon, t)] \frac{\partial f(\varepsilon_1, t)}{\partial \varepsilon_1} \right] \right\}. \quad (7)$$

Кинетическое уравнение для фотоэлектронов имеет вид

$$\frac{\partial}{\partial t} f(\varepsilon, t) = I(\varepsilon, t, f(\varepsilon, t)) + R(\varepsilon, f(\varepsilon, t)) + St_{opt}(\varepsilon, f(\varepsilon, t), f(\varepsilon \pm \hbar\omega_0, t)) + St_{ee}(\varepsilon, f(\varepsilon, t)). \quad (8)$$

4. Уравнение (8) интегро-дифференциальное, типа уравнения нелинейной диффузии. Будем решать его численно с помощью методов конечных разностей (см., например, [6, 7]). Рассмотрим функцию распределения на сетке  $f_{ij} = f(\varepsilon_i, t_j)$ .

Для вычисления значений  $f_{ij}$ , сначала мы вычисляем интегральные коэффициенты уравнения (8), после чего выполняем интегрирование на один шаг по времени с коррекцией. Длинноволновость вычисляемых функций (см. [6]) обеспечивалась слаживанием по  $\varepsilon$  методом наименьших квадратов. Для устранения «разбалтывания» решения — нарастания коротковолновых флуктуаций с периодом порядка размера ячейки сетки — весьма эффективной, как отмечалось в [7], является симметризация разностной схемы по времени, при которой значение  $f(\varepsilon_i, t_j)$  заменяется величиной

$$\frac{1}{4} \{f(\varepsilon_i, t_{j-1}) + 2f(\varepsilon_i, t_j) + f(\varepsilon_i, t_{j+1})\}.$$

Приведем полученные численные результаты.

На рис. 1 изображена начальная стадия эволюции функции распределения во времени после включения фотонакачки в момент времени  $t=0$  (положение источника на всех рисунках отмечено стрелками). При малых  $t$  распределение

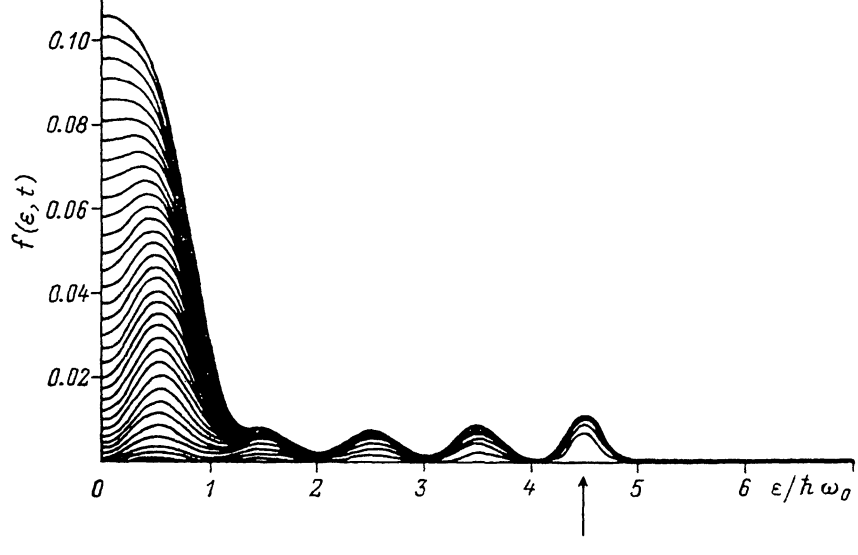


Рис. 1. Изменение функции распределения во времени в интервале  $t/\tau_0 = 0 \div 18$ .

Кривые построены через равные промежутки времени  $\Delta t = \tau_0/2$ .

электронов существенно нестационарно; по энергии оно осциллирует с характерным масштабом  $\hbar\omega_0$ . Электрон-электронное рассеяние слаживает осцилляции функции распределения, вследствие чего ширина «горбов» вблизи дна зоны проводимости больше, чем в области источника. Заметим, что в области больших энергий довольно быстро (за время порядка  $\tau_0$ ) устанавливается квазистационарное распределение. Из рис. 1 следует, что через время порядка  $\tau_0$  в зоне проводимости формируются две группы носителей: квазистационарный осциллирующий «хвост» и термализованные электроны на дне зоны, для которых  $\partial f(\varepsilon, t)/\partial \varepsilon < 0$ .

На рис. 2 изображена эволюция функций распределения на больших промежутках времени. При небольшой интенсивности накачки (рис. 2, а) химический потенциал квазистационарного распределения  $\mu_e$ , на которое выходит в результате эволюции функция  $f(\varepsilon, t)$  через время порядка  $\tau_R$ , меньше  $\varepsilon_s$ . Величина  $\mu_e$  определяется балансом фотонакачки и рекомбинации и зависит от интенсивности фотонакачки и времени жизни неравновесных носителей. При большой интенсивности фотонакачки за время, меньшее  $\tau_R$ , область фазового пространства  $\varepsilon < \varepsilon_s$  оказывается заполненной, и дальнейшего увеличения концентрации неравновесных носителей не происходит, что обусловлено влиянием принципа Паули в области источника. В этом случае  $\mu_e$  определяется лишь положением источника, т. е. частотой фотонакачки. Этот случай показан на рис. 2, б. Из рис. 2 видно, что наиболее быстрое изменение  $f(\varepsilon, t)$  наблюдается на начальном этапе эволюции до тех пор, пока на дне зоны функция распреде-

ления не станет порядка единицы. Заметим, что квазистационарный хвост в функции распределения (рис. 1), где  $f \sim 10^{-2}$ , не виден в масштабе рис. 2. Тем самым функция распределения с течением времени приобретает квазифер-

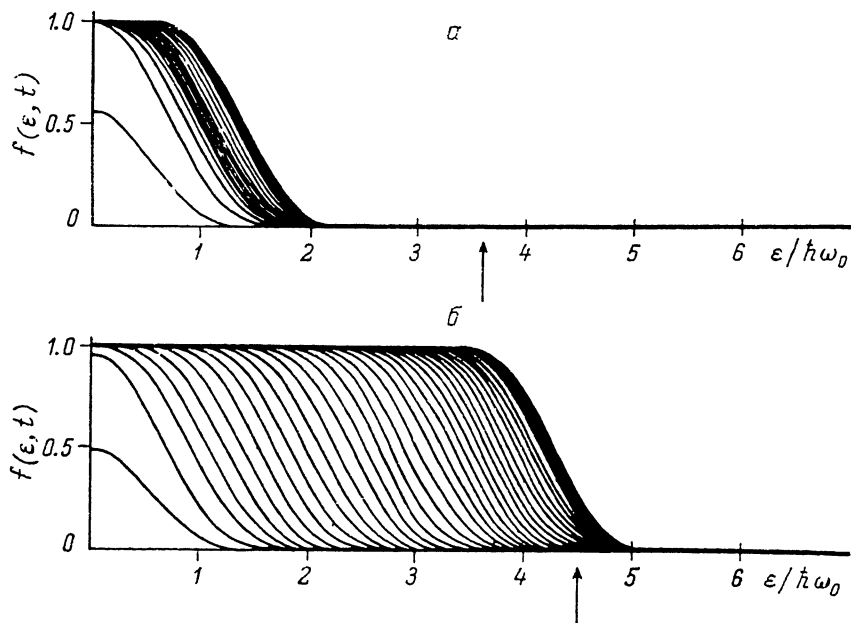


Рис. 2. Изменение функции распределения во времени.

*α* — в интервале  $t/t_{po} = (0 \div 3) \cdot 10^8$ ; кривые построены через равные промежутки времени  $\Delta t = 100 t_{po}$ ; интенсивность фотонакачки  $I_1$ ; *б* —  $t/t_{po} = (0 \div 2) \cdot 10^8$ ;  $\Delta t = 50 t_{po}$ ; интенсивность фотонакачки  $I_2 > I_1$ .

миеvский вид: подавляющее большинство фотоэлектронов термализовано и имеется еще малый ( $f \sim 10^{-2}$ ) хвост.

Условие применимости нашего рассмотрения  $\tau_R \gg \tau_{po}, \tau_{ee}$ , тогда как соотношение между  $\tau_{po}$  и  $\tau_{ee}$  произвольно и определяет лишь вид хвоста (при  $\tau_{po} > \tau_{ee}$  он гладкий, при  $\tau_{po} < \tau_{ee}$  — осциллирующий).

Из проведенного рассмотрения следует, что температурное размытие функции распределения порядка  $\hbar\omega_0$  и вырожденное распределение фотоэлектронов реализуется при интенсивности фотонакачки, большей некоторой граничной.

5. Перейдем к рассмотрению фотодырок. Для дырок в силу их большой массы  $m_h$  частота дыроочно-дырочного рассеяния при всех энергиях  $\nu_{hh} \gg (\tau_{po})^{-1}$ , вследствие чего для них применимо температурное приближение. В этом при-

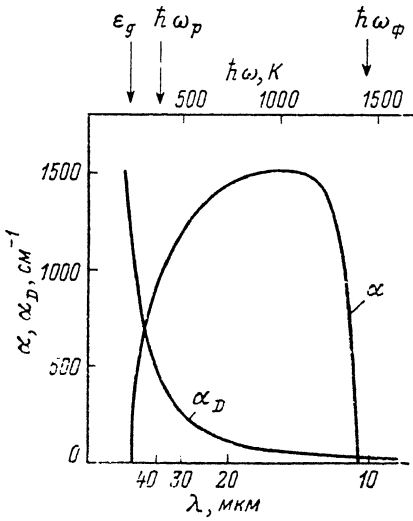


Рис. 3. Коэффициент усиления  $\alpha$  и коэффициент поглощения свободного носителями  $\alpha_D$ .

$\epsilon_g$  — ширина запрещенной зоны,  $\omega_p$  — плазменная частота электронов,  $\omega_\phi$  — частота фотонакачки.

ближении эффективную температуру распределения можно определить из уравнения баланса энергии. Для температуры фотодырок получаем следующую формулу:

$$T_h \simeq \hbar\omega_0 \ln^{-1} \left\{ \frac{\tau_R}{\tau_{hh} + \tau_{po}^{-1}} \frac{\hbar\omega_0}{\epsilon_g} \frac{m_h}{m_e} \left( 1 + \frac{m_e}{m_h} \right) \right\}, \quad (9)$$

где сумма характерных времен  $\tau_{hh} + \tau_{po}$  в (9) обусловлена «гибридным» механизмом релаксации энергии дырок — дырочно-дырочным рассеянием совместно со спонтанным испусканием оптического фона (см. [1]). Существенной является логарифмическая зависимость  $T_h$  от всех параметров, кроме  $\hbar\omega_0$ . Логарифмическая зависимость  $T_h$  от параметров обеспечивает их слабую зависимость и от других «дополнительных» механизмов нагрева, таких как оже-рекомбинация и электронно-дырочное рассеяние.

6. Наличие вырожденных распределений неравновесных электронов обеспечивает существование инверсии населенности на излучательных межзонных переходах. Коэффициент усиления на таких переходах на частоте  $\omega$  определяется соотношением

$$\alpha(\omega) = \alpha_0(\omega) [f_e(\varepsilon_e) + f_h(\varepsilon_h) - 1], \quad (10)$$

где  $\hbar\omega = \varepsilon_g + \varepsilon_e + \varepsilon_h$ ,  $\alpha_0(\omega)$  — коэффициент поглощения на межзонных переходах при температуре  $T=0$ . На частоте  $\omega$  имеется и внутризонное поглощение свободными носителями, определяемое коэффициентом поглощения  $\alpha_D(\omega)$ . Поэтому усиление электромагнитной волны на частоте  $\omega$  возможно лишь при положительности полного коэффициента усиления  $\alpha_\Sigma(\omega)$ , где

$$\alpha_\Sigma(\omega) = \alpha(\omega) - \alpha_D(\omega). \quad (11)$$

Пользуясь предыдущим рассмотрением, проведем расчеты (рис. 3) коэффициентов  $\alpha(\omega)$  и  $\alpha_D(\omega)$  для кристалла  $Cd_{0.18}Hg_{0.82}Te$  при интенсивности накачки  $I \sim 100$  Вт/см<sup>2</sup> лазером на CO<sub>2</sub>. По проведенным расчетам, в диапазоне длин волн  $\lambda \approx 12 \div 40$  мкм (на частотах  $\omega > \omega_p$ , где  $\omega_p$  — плазменная частота электронов) имеется усиление  $\alpha_\Sigma > 0$  с максимальным значением  $\alpha_\Sigma^{\max} \sim 10^3$  см<sup>-1</sup>.

В заключение авторы выражают благодарность А. А. Андронову за стимулирующие обсуждения работы.

#### Л и т е р а т у р а

- [1] Гантмахер В. Ф., Левинсон И. Б. Рассеяние носителей тока в металлах и полупроводниках. М., 1984. 350 с.
- [2] Комолов В. Л., Ясслевич И. Н. — ФТП, 1974, т. 8, в. 6, с. 1125—1133.
- [3] Dornhaus R., Nimtz G. — Sol. St. Phys., 1976, v. 78, p. 1—119.
- [4] Gerhardts R. R., Dornhaus R., Nimtz G. — Sol. St. Electron., 1978, v. 21, N 11/12, p. 1467—1470.
- [5] Либшиц Е. М., Питаевский Л. П. Физическая кинетика. М., 1979. 528 с.
- [6] Поттер Д. Вычислительные методы в физике. М., 1975. 392 с.
- [7] Ландау Л. Д., Мейман Н. Н., Халатников И. М. Численные методы интегрирования уравнения в частных производных методом сеток, т. 2. М., 1969. 450 с.

Институт прикладной физики  
АН СССР  
Горький

Получена 1.12.1987  
Принята к печати 2.06.1988